



Semecon Oy

**Kenkäkankaan tuulivoimapuiston välkeselvitys (VE1)**

101022365-002, 28.02.2024

Tekijä  
AFRY Finland Oy  
Juulianna Lähteinen

E-mail  
[juulianna.lahteinen@afry.com](mailto:juulianna.lahteinen@afry.com)

Osasto  
Wind and Solar Finland

Raporttiversio  
001

Asiakas  
Semecon Oy  
Olli Malkamäki

Päivämäärä  
28/02/2024

Projektinumero  
101022365-002

Raportin tila  
VALMIS

## Kenkäkankaan tuulivoimapuiston välkeselvitys (VE1)

## Raporttihistoria

Versio	Pvm/Laatija	Pvm/Tarkastaja	Merkinnät/Muutokset
001	28.02.2024/ Juulianna Lähteinen, Technical Consultant	28.02.2024/ Mika Laitinen, Senior Consultant	Alkuperäinen

## Aineistojen käyttöoikeudet

Selvityksessä on käytetty Maanmittauslaitoksen, Suomen ympäristökeskuksen ja Ilmatieteen laitoksen avoimien aineistojen käyttöluvien alaista materiaalia, jotka on lisensoitu Creative Commons Nimeä 4.0 Kansainvälinen -lisenssillä: <https://creativecommons.org/licenses/by/4.0/deed.fi>.

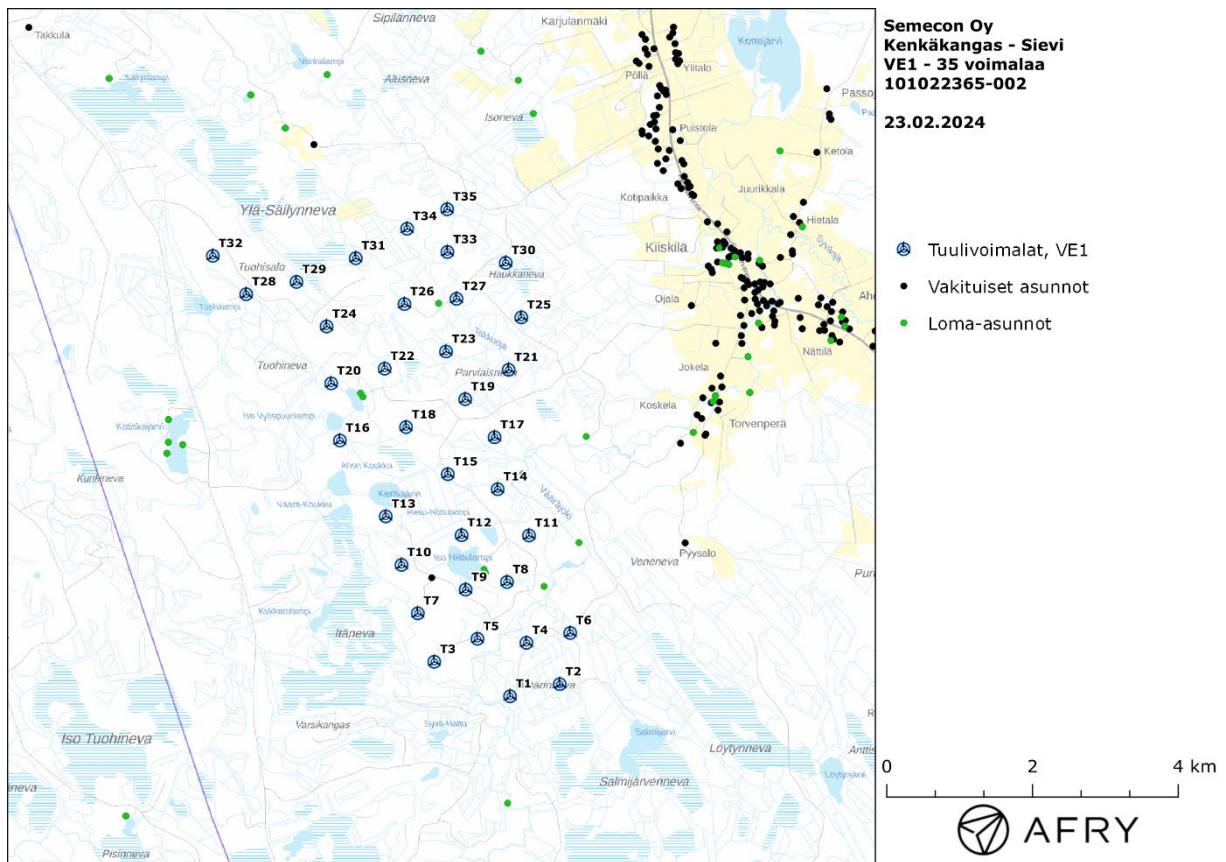
## Sisällysluettelo

1	Johdanto .....	4
2	Tuulivoimaloiden välke .....	6
2.1	Välkevaikutus.....	6
2.2	Välkkeen rajoittaminen.....	6
2.3	Arvioinnin epävarmuudet.....	6
2.4	Ohjeavot .....	7
3	Tuulivoimakohteen välkemallinnus.....	8
3.1	Mallinnusmenetelmä ja lähtöaineisto .....	8
3.2	Todennäköinen välkevaikutus.....	11
3.3	Teoreettinen välkevaikutus .....	13
4	Yhteenveto .....	14
5	Välkevaikutuksen laskentamenetelmä .....	15
6	Viitteet .....	17

# 1 Johdanto

Selvityksessä arvioidaan Sievin kunnan alueelle suunnitellun Kenkäkankaan tuulivoimapuiston aiheuttamaa välkevaikutusta laskennallisten mallien avulla. Arviointi on tehty 35 voimalan toteutus-suunnitelmalle VE1. Voimaloiden sijainnit on esitetty kuvassa (Kuva 1) ja koordinaatit annettu taulukossa (Taulukko 1).

Mallinnuksissa voimaloille on käytetty napakorkeutta 219 m ja roottorin halkaisijaa 162 m. Voimaloiden lapaprofiilina on käytetty voimalatyyppin V162 tarkkaan lavan profiilitietoa, jonka levin kohta on 4,3 m.



Kuva 1: Tuulivoimaloiden sijainnit Kenkäkankaan hankealueella.

*Taulukko 1: Tuulivoimaloiden (35 kpl) sijaintikoordinaatit ETRS-TM35FIN-koordinaatistossa ja maaston korkeus turbiinipaikalla.*

Turbiinit	E	N	Maaston korkeus [m]	Turbiinit	E	N	Maaston korkeus [m]
T1	381588	7071318	124	T19	380972	7075391	117
T2	382270	7071484	124	T20	379132	7075607	126
T3	380547	7071791	128	T21	381568	7075793	113
T4	381813	7072051	126	T22	379867	7075809	121
T5	381140	7072106	124	T23	380709	7076044	117
T6	382413	7072186	123	T24	379070	7076388	123
T7	380321	7072455	125	T25	381742	7076512	111
T8	381545	7072885	124	T26	380139	7076694	119
T9	380978	7072780	123	T27	380853	7076766	118
T10	380098	7073119	126	T28	377966	7076830	130
T11	381848	7073522	121	T29	378656	7076998	122
T12	380923	7073526	123	T30	381528	7077259	112
T13	379882	7073784	127	T31	379470	7077323	120
T14	381418	7074157	118	T32	377508	7077355	138
T15	380733	7074362	124	T33	380728	7077409	117
T16	379252	7074825	126	T34	380175	7077727	118
T17	381376	7074869	118	T35	380724	7077994	114
T18	380160	7075008	123				

## 2 Tuulivoimaloiden välke

### 2.1 Välkevaikutus

Välkevaikutuksella tarkoitetaan tilannetta, jossa Auringon paisteen ja tarkastelupisteen väliin jäävän voimalan lavat aiheuttavat välkkyvän varjon. Välke voi ulottua pisimmillään 1–3 km etäisyydelle voimalasta. Välkevaikutuksen etäisyyteen ja keston vaikuttavat tuulivoimalan korkeus ja roottorin halkaisija, vuoden- ja vuorokaudenaika, maaston muodot sekä näkyvyyttä rajoittavat tekijät kuten kasvillisuus ja pilvisuus.

Suomen sijainnin vuoksi yksittäisen tuulivoimalan välkevaikutus kohdistuu valtaosin voimalan pohjoispuolelle (päiväaika) sekä lounais- ja kaakkoispuolille (aamu- ja ilta-ajat). Suomessa voimala aiheuttaa välkevaikutusta eteläpuolelleen vain pohjoisen napapiirin pohjoispuolella.

Välkevaikutuksen laskenta voi perustua joko teoreettisen maksimivälkkeen tai todennäköisen tilanteen mallinnukseen:

- Teoreettisen maksimivälkkeen laskennassa oletetaan, että päiväaikaan Aurinko paistaa jatkuvasti, tuulivoimalan roottori pyörii jatkuvasti, ja roottori on aina kohtisuorassa Aurinkoa kohden.
- Todennäköisen tilanteen mallinnuksessa otetaan huomioon paikallinen tilastollinen aineisto auringonpaisteen määrästä ja ajoittumisesta sekä tuulen suuntien ja nopeuksien jakautumisesta.

Tämän selvityksen väkelaskenta on tehty mallintamalla sekä todennäköinen välkeaika että teoreettinen maksimivälke.

### 2.2 Välkkeen rajoittaminen

Välkevaikutusta voidaan vähentää voimalakohtaisella välkkeen hallintatyökalulla (shadow flicker protection system), joka sisältää valoanturin ja välkkeenhallintasovelluksen. Työkalun avulla voimala voidaan pysäyttää joko havaitun auringonpaisteen perusteella ja/tai haluttuina vuoden- ja kellonaikoina. Pysäytetty voimala ei aiheuta välkettä.

### 2.3 Arvioinnin epävarmuudet

Mallinnettu todennäköinen välkevaikutus perustuu auringonpaisteen ja tuulisuuden tilastolliseen aineistoon. Yksittäisen vuoden sääolosuhteet saattavat poiketa merkittävästi keskimääräisistä olosuhteista, jolloin vuotuinen välkevaikutus voi poiketa mallinnetusta arvosta. Auringonpaisteen aineisto on saatu Pelmaan sääasemalta, josta etäisyys hankealueeseen on noin 135 km.

Mallinnuksessa ei ole huomioitu paikallisen puuston vaikutusta voimaloiden näkyvyyteen ja välkevaikutukseen. Puusto voi rajoittaa merkittävästi näkyvyyttä turbiineille ja vähentää vuotuista välkevaikutusta. Puuston näkyvyyttä peittävä vaikutus vaihtelee kuitenkin vuosien ja vuodenaikojen suhteen, minkä vuoksi puuston välkettä vähentävää vaikutusta ei pystytä arvioimaan tarkasti.

Rakennuksiin kohdistuvan välkkeen laskennassa käytetään ns. kasvihuone-oletusta, jolloin rakennukseen kohdistuva välkevaikutus huomioidaan riippumatta suunnasta. Välkevaikutuksen laskennallinen arvio kuvaa siis välkevaikutusta ulkona. Rakennusten sisätiloissa välkevaikutus on yleensä vähäisempi, koska välkevaikutus kohdistuu rakennuksen sisätiloihin vain ikkunoiden suunnasta.

## 2.4 Ohjearvot

Tuulivoimaloiden välkevaikutukselle ei ole Suomessa määritelty ohjearvoja. Ympäristöministeriön ohjeissa tuulivoimapuiston suunnitteluun suositellaan käytettäväksi muiden maiden suosituksia välkemäärien osalta [4]. Tanskassa on määritetty vuotuisen välketuntimäärän suositusarvoksi 10 h. Ruotsissa vastaava suositusarvo on 8 h ja korkeintaan 30 min päivässä [2]. Näiden ohjearvojen käyttö edellyttää todennäköisen välketilanteen laskentaa. Mikäli välketuntien arvioinnissa käytetään laskennallista maksimituntimäärää, voidaan vuotuisen välkevaikutuksen ohjearvona käyttää Saksassa käytettävää 30 h raja-arvoa. Tässä raportissa mallinnettujen välketasojen arvioinnissa käytetään Ruotsin suunnitteluohjeissa annettuja ohjearvoja todennäköisen välkkeen tapauksessa. Teoreettisen maksimivälkkeen arvioinnissa käytetään Saksan 30 tunnin raja-arvoa vuodessa ja 30 minuuttia päivässä.



## 3 Tuulivoimakohteen välkemallinnus

### 3.1 Mallinnusmenetelmä ja lähtöaineisto

Tuulivoimaloiden aiheuttama välkevaikutus (shadow flicker) arvioitiin AFRY Numerola -mallinnusohjelmistolla, joka huomioi auringon paikan vuoden eri aikoina, tuulivoima-alueen ja sen ympäristön maastonmuodot sekä tuuliturbiinien dimensiot. Laskennan tuloksena saadaan tietoa siitä, kuinka monta tuntia vuodessa alueen eri kohteet ovat välkevaikutuksen alaisena. Tulosta havainnollistetaan tasa-arvokäyrästä, jonka perusteella voidaan arvioida varjostusvaikutusta tarkastelualueella.

Tarkastelualueiden maanpinnan korkeuserot on saatu Maanmittauslaitoksen aineistosta *Korkeusmalli 10 m*. Korkeusdatan vaakaresoluutio on 10 m ja pystysuorainen tarkkuus 1,4 m. Laskennassa huomioitiin korkeuserot siten, että jos Auringon, turbiinin ja tarkastelupisteen kautta kulkeva jana leikkaa maanpintaa, niin varjostusta ei esiinny. Välkevaikutus laskettiin 2 m korkeudelle. Auringonpaistekulman rajana horisontista käytettiin kolmea astetta, jonka alle menevää säteilyä ei oteta huomioon varjostuksessa.

Turbiinin lapojen aiheuttama varjo heikkenee asteittain liikuttaessa etäämmälle turbiinista, eikä tietyn etäisyyden jälkeen varjo ole enää ihmissilmin havaittavissa. Tämä etäisyys riippuu turbiinin lavan leveydestä, ja esimerkiksi Ruotsin tuulivoimarakentamisen suunnitteluohjeistuksessa määritellään, että välkevaikutus huomioidaan mikäli lapa peittää vähintään 20 % Auringosta. Käytännössä tämä asettaa lavan leveydestä riippuvan maksimietäisyyden yksittäisen turbiinin aiheuttamalle välkevaikutukselle, eikä sen ulkopuolella välkevaikutusta ole.

Yleensä väkelaskennan maksimietäisyyden laskenta perustuu lavan keskimääräiseen leveyteen, joka määrää maksimietäisyyden. Käytännössä turbiinin lapa ei ole vakiolevyinen: Levein kohta sijaitsee lähellä turbiinin napaa, ja lapa kapenee huomattavasti kärkeä kohti liikuttaessa. Tällä perusteella lavan tyven välkevaikutus ulottuu huomattavasti pidemmälle kuin lavan kärjen, mikäli arviointiperusteena käytetään Auringon peittoastetta. Tässä selvityksessä väkelaskennassa ei ole käytetty tavanomaista maksimietäisyyttä, vaan on huomioitu turbiinin muuttuva lapaprofiili.

Väkelaskennassa voimaloille on käytetty napakorkeutta 219 m ja roottorin halkaisijaa 162 m. Voimaloiden lapaprofiilina on käytetty voimalatyypin Vestas V162 valmistajan ilmoittamaa tarkkaa lavan profiilitietoa. Laskentamenetelmän yksityiskohdat on kuvattu luvussa 5.

Todelliseen välkevaikutukseen vaikuttavat turbiinien käyttöaste, puusto ja paikallinen säätö (pilvisuus ja tuulisuus). Jos esimerkiksi tuulen suunta on kohtisuorassa auringon ja tarkastelupisteen välistä linjaa vasten, ei varjostusvaikutusta esiinny. Varjostuksen laskennassa turbiinin orientaatio voidaan määrittää, jolloin roottori oletetaan tiettyyn suuntaan asetetuksi ympyrätasoksi. Todennäköisen välkevaikutuksen laskenta on suoritettu kuudella eri turbiinien orientaatiolla. Tämä vastaa 12 tuulen suuntasektorin varjostustuloksia, sillä vastakkaiset tuulensuunnat aiheuttavat välkkeen kannalta efektiivisesti saman roottorin orientaation. Kullakin tuulen suunnalla laskettua välketuntimäärää on skaalattu Suomen tuuliatlaksesta [1] saatavan suuntasektorin esiintymisfrekvensillä ja suuntakohtaisesta nopeusjakaumasta määritellyn turbiinin käyntinopeuksien ajallisella osuudella. Käynnistysnopeutta alemmissa tai pysäytysnopeutta korkeammassa tuulissa turbiinit ovat paikallaan, jolloin roottorin pyörimisestä aiheutuvaa valon välkkymistä ei esiinny. Suomen tuuliatlaksen tuulisuusestimaatti on otettu tuulivoima-alueen keskeltä korkeudelta 200 m, ja sen perusteella lasketut suuntasektorikohtaiset osuudet turbiinin käyntinopeusvälille osuille tuulille on lueteltu taulukossa (Taulukko 2).

Paikallinen pilvisuus on huomioitu skaalaamalla eri roottoriorientaatioilla laskettuja varjostusaikoja Seinäjoen Pelmaan sääasemalta mitattujen auringonpaistetuntien suhteellisella osuudella teoreettisesta maksimipaistetuntien määrästä [3]. Sääaseman mittauksen perusteella lasketut kuukausittaiset auringonpaisteen todennäköisyydet on koottuna taulukkoon (Taulukko 3). Suuntaakohtaisesti skaalatut välketuntimäärät yhteen laskien saadaan arvio todellisesta, säätilan huomioonottavasta välketuntimäärästä tarkastelualueella.

*Taulukko 2: Suuntasektorikohtaiset osuudet yli 3 m/s tuulenopeuksille Suomen tuuliatlaksen perusteella.*

Suuntasektori	0/180	30/210	60/240	90/270	120/300	150/330
Yli 3 m/s osuus	0,158	0,188	0,186	0,126	0,116	0,155

*Taulukko 3: Auringonpaisteen kuukausittaiset todennäköisyydet Pelmaan sääasemalla.*

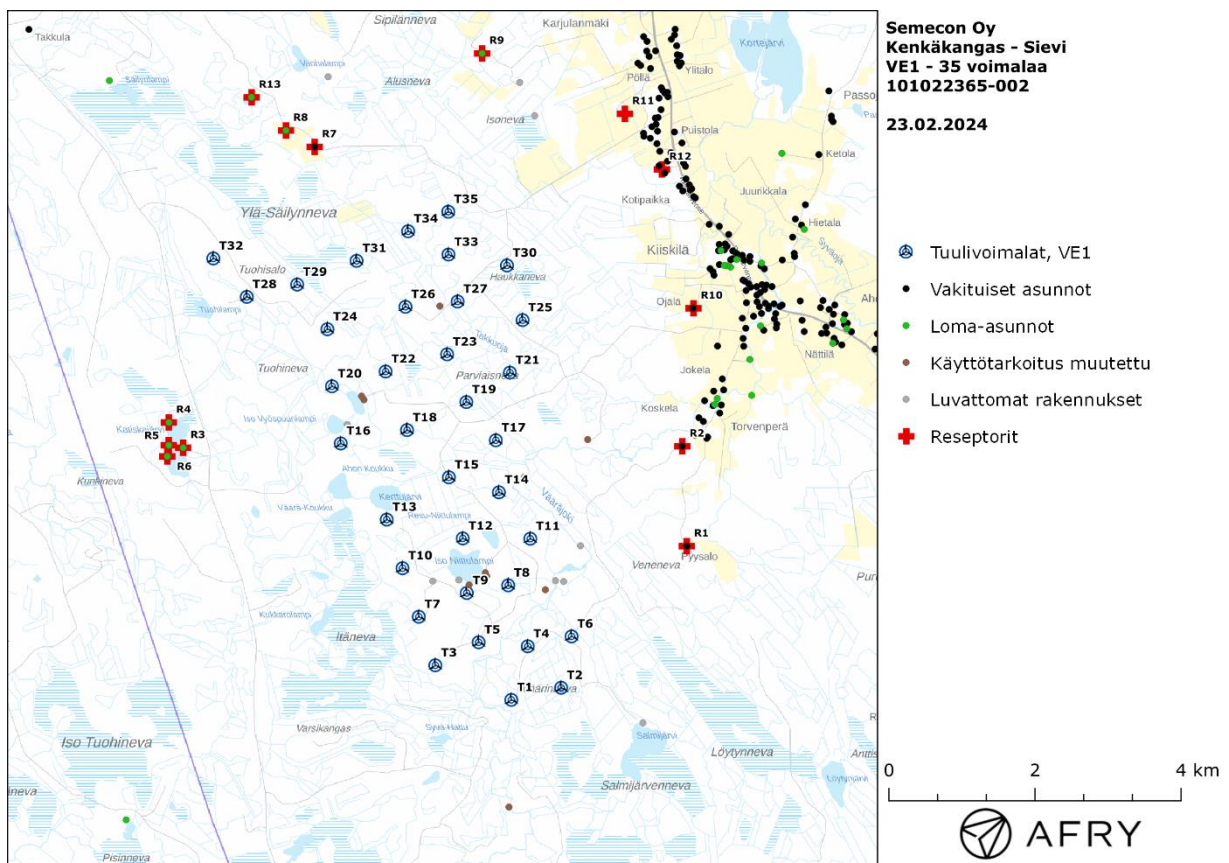
Kuukausi	Auringonpaisteen todennäköisyys
Tammikuu	0,162
Helmikuu	0,291
Maaliskuu	0,398
Huhtikuu	0,423
Toukokuu	0,479
Kesäkuu	0,459
Heinäkuu	0,454
Elokuu	0,414
Syyskuu	0,358
Lokakuu	0,260
Marraskuu	0,150
Joulukuu	0,110

Taulukossa (Taulukko 4) on määritelty tuulivoimaloiden ympäristöstä 13 vertailurakennusta, joiden kohdilla välkevaikutusta tarkastellaan tarkemmin. Sijaintipisteitä kutsutaan reseptoripisteiksi, ja niiden paikat suhteessa tuulivoimaloihin on esitetty karttapohjalla (Kuva 2). Rakennukset sijaitsevat noin 1,6-2,6 km etäisyydellä voimaloista.

Maanmittauslaitoksen maastotietokannan mukaan Kenkäkankaan hankealueella on useita loma- ja asuinrakennuksiksi merkittyjä rakennuksia. Asiakkaalta saadun tiedon mukaan näistä asunnoista osa on luvattomia rakennuksia ja osassa käyttötarkoitus on muutettu muuksi rakennukseksi. Välkkeen ohjearvot koskevat pelkästään asuin- ja lomarakennuksia. Luvattomat rakennukset on merkitty karttakuviin harmaalla ja asunnot, joissa käyttötarkoitus on muutettu, on merkitty karttoihin ruskealla.

Taulukko 4: Reseptorien koordinaatit ETRS-TM35FIN-koordinaatistossa.

Reseptori	E	N	Maaston korkeus [m]	Rakennusluokitus
R1	383992	7073419	120	vakituinen asuinrakennus
R2	383929	7074785	110	vakituinen asuinrakennus
R3	377096	7074764	135	lomarakennus
R4	376900	7075110	133	lomarakennus
R5	376899	7074798	135	lomarakennus
R6	376880	7074646	133	lomarakennus
R7	378897	7078879	123	vakituinen asuinrakennus
R8	378503	7079104	129	lomarakennus
R9	381188	7080158	106	lomarakennus
R10	384082	7076671	102	vakituinen asuinrakennus
R11	383144	7079332	105	muu rakennus
R12	383651	7078570	101	vakituinen asuinrakennus
R13	378033	7079556	127	lomarakennus



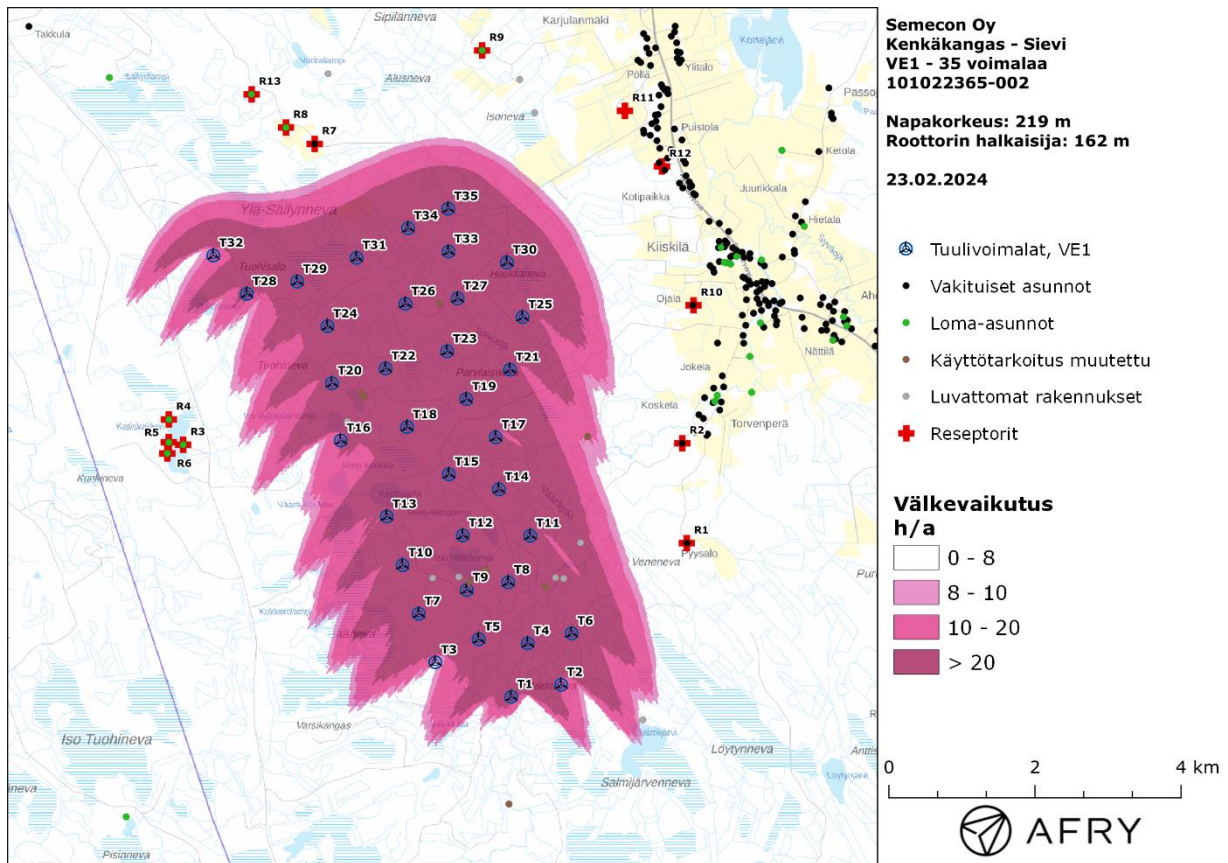
Kuva 2: Reseptoreiden paikat tuulivoimapuiston hankealueella.

### 3.2 Todennäköinen välkevaikutus

Mallinnetut arviot todennäköisten välketuntien vuotuisesta määrästä on esitetty karttakuvana (Kuva 3). Mallinnuksessa ei ole huomioitu paikallisen puuston vaikutusta turbiinien näkyvyyteen ja välkevaikutukseen. Karttoihin on merkitty ympäristössä sijaitsevat loma- ja asuinrakennukset käyttäen lähtötietona Maanmittauslaitoksen maastotietokannan sisältämiä tietoja.

Mallinnusten perusteella vuotuinen todennäköinen välkevaikutus jää alle 8 tunnin ohjearvon kaikkien lähialueen asuin- ja lomarakennusten kohdalla. Myös päiväkohtainen todennäköinen välke aika alittaa 30 minuutin ohjearvon kaikkien alueen asuin- ja lomarakennusten kohdalla. Vuotuiset todennäköiset välkevaikutusajat ja suurimmat päiväkohtaiset maksimivälkkeet reseptorien kohdalla on lueteltu taulukossa (Taulukko 5).

Todennäköisen välkkeen tarkempi ajoittuminen reseptorin R7 kohdalla on esitetty taulukossa (Taulukko 6). Taulukossa esitetyt kellonajat ovat aikavyöhykkeen UTC+2 mukaisia (Suomen talvi-aika).



Kuva 3: Tuulivoimaloiden aiheuttama todennäköisen välkkeen määrä ilman puuston vaikutusta.

Taulukko 5: Todennäköinen vuotuinen välkevaikutus tunteina ja minuutteina ([h:min]) reseptoreiden kohdilla.

Reseptori	Todennäköinen vuotuinen välke aika	Todennäköisen välkkeen päiväkohtainen maksimivälke aika
R1	0:44	0:02
R2	0:09	0:01
R3	0:49	0:03
R4	0:30	0:02
R5	0:30	0:02
R6	0:30	0:02
R7	3:09	0:04
R8	1:38	0:04
R9	0:15	0:01
R10	0:12	0:02
R11	0:00	0:00
R12	0:08	0:01
R13	0:14	0:01

Taulukko 6: Todennäköisen välkevaikutuksen ajoittuminen ja kesto tunteina ja minuutteina [h:min] reseptorin R7 kohdalla.

Kellonaika	0-2	2-4	4-6	6-8	8-10	10-12	12-14	14-16	16-18	18-20	20-22	22-24	
Tammikuu	0:00	0:00	0:00	0:00	0:00	0:05	0:20	0:06	0:00	0:00	0:00	0:00	0:31
Helmikuu	0:00	0:00	0:00	0:00	0:23	0:24	0:00	0:12	0:00	0:00	0:00	0:00	0:59
Maaliskuu	0:00	0:00	0:00	0:00	0:15	0:00	0:00	0:00	0:00	0:00	0:00	0:00	0:15
Huhtikuu	0:00	0:00	0:00	0:00	0:00	0:00	0:00	0:00	0:00	0:00	0:00	0:00	0:00
Toukokuu	0:00	0:00	0:00	0:00	0:00	0:00	0:00	0:00	0:00	0:00	0:00	0:00	0:00
Kesäkuu	0:00	0:00	0:00	0:00	0:00	0:00	0:00	0:00	0:00	0:00	0:00	0:00	0:00
Heinäkuu	0:00	0:00	0:00	0:00	0:00	0:00	0:00	0:00	0:00	0:00	0:00	0:00	0:00
Elokuu	0:00	0:00	0:00	0:00	0:00	0:00	0:00	0:00	0:00	0:00	0:00	0:00	0:00
Syyskuu	0:00	0:00	0:00	0:01	0:00	0:00	0:00	0:00	0:00	0:00	0:00	0:00	0:01
Lokakuu	0:00	0:00	0:00	0:07	0:22	0:01	0:00	0:11	0:00	0:00	0:00	0:00	0:41
Marraskuu	0:00	0:00	0:00	0:00	0:00	0:21	0:20	0:00	0:00	0:00	0:00	0:00	0:41
Joulukuu	0:00	0:00	0:00	0:00	0:00	0:00	0:00	0:00	0:00	0:00	0:00	0:00	0:00
Yhteensä	0:00	0:00	0:00	0:09	1:01	0:50	0:40	0:30	0:00	0:00	0:00	0:00	3:09

### 3.3 Teoreettinen välkevaikutus

Teoreettisen maksimivälkkeen vuotuiset ja suurimmat päiväkohtaiset välkevaikutusajat reseptoreiden kohdilla on lueteltu taulukossa (Taulukko 7). Mallinnusten perusteella teoreettinen vuotuinen ja päiväkohtainen maksimivälkeika pysyy alle raja-arvon kaikkien asuin- ja lomarakennusten kohdalla, kun välkeikoja verrataan Saksan raja-arvoihin. Teoreettisen välkkeen tarkempi ajoittuminen reseptorin R7 kohdalla on esitetty taulukossa 8. Taulukossa esitetyt kellonajat ovat aika-vyöhykkeen UTC+2 mukaisia (Suomen talviaika).

Taulukko 7: Vuotuinen teoreettinen välkevaikutus tunteina ja minuutteina ([h:min]) reseptoreiden kohdilla.

Reseptori	Teoreettinen vuotuinen välkeika	Teoreettisen välkkeen päiväkohtainen maksimivälkeika
R1	3:49	0:12
R2	0:52	0:07
R3	3:20	0:10
R4	2:09	0:08
R5	2:06	0:08
R6	2:00	0:08
R7	24:18	0:25
R8	13:39	0:24
R9	2:36	0:10
R10	0:56	0:07
R11	0:00	0:00
R12	0:48	0:07
R13	2:18	0:10

Taulukko 8: Teoreettisen maksimivälkkeen ajoittuminen ja kesto tunteina ja minuutteina [h:min] reseptorin R7 kohdalla.

Kellonaika	0-2	2-4	4-6	6-8	8-10	10-12	12-14	14-16	16-18	18-20	20-22	22-24	
Tammikuu	0:00	0:00	0:00	0:00	0:00	0:57	3:13	1:01	0:00	0:00	0:00	0:00	5:11
Helmikuu	0:00	0:00	0:00	0:00	2:21	2:18	0:00	1:07	0:00	0:00	0:00	0:00	5:46
Maaliskuu	0:00	0:00	0:00	0:00	1:12	0:00	0:00	0:00	0:00	0:00	0:00	0:00	1:12
Huhtikuu	0:00	0:00	0:00	0:00	0:00	0:00	0:00	0:00	0:00	0:00	0:00	0:00	0:00
Toukokuu	0:00	0:00	0:00	0:00	0:00	0:00	0:00	0:00	0:00	0:00	0:00	0:00	0:00
Kesäkuu	0:00	0:00	0:00	0:00	0:00	0:00	0:00	0:00	0:00	0:00	0:00	0:00	0:00
Heinäkuu	0:00	0:00	0:00	0:00	0:00	0:00	0:00	0:00	0:00	0:00	0:00	0:00	0:00
Elokuu	0:00	0:00	0:00	0:00	0:00	0:00	0:00	0:00	0:00	0:00	0:00	0:00	0:00
Syyskuu	0:00	0:00	0:00	0:07	0:00	0:00	0:00	0:00	0:00	0:00	0:00	0:00	0:07
Lokakuu	0:00	0:00	0:00	0:51	2:35	0:04	0:00	1:06	0:00	0:00	0:00	0:00	4:36
Marraskuu	0:00	0:00	0:00	0:00	0:00	3:56	3:30	0:01	0:00	0:00	0:00	0:00	7:26
Joulukuu	0:00	0:00	0:00	0:00	0:00	0:00	0:00	0:00	0:00	0:00	0:00	0:00	0:00
Yhteensä	0:00	0:00	0:00	0:58	6:08	7:14	6:43	3:15	0:00	0:00	0:00	0:00	24:18

## 4 Yhteenveto

Raportissa on esitetty Sievin kunnan alueelle suunnitellun Kenkäkankaan tuulivoimapuiston ympäristölleen aiheuttaman välkevaikutuksen laskennallinen arvio. Vaikutusten arviointi on tehty 35 voimalan sijoitussuunnitelmalle VE1, roottorin halkaisijalla 162 m ja napakorkeudella 219 m.

Välkevarjostusmallinnuksen mukaan vuotuinen todennäköinen välkevaikutus jää alle 8 tunnin ohje-arvon kaikkien asuin- ja lomarakennusten kohdalla. Myös todennäköinen päiväkohtainen välkeaika alittaa 30 minuutin ohje-arvon kaikkien loma- ja asuinrakennusten kohdalla.

Välkevarjostusmallinnuksen mukaan vuotuinen teoreettinen maksimivälke jää alle Saksan 30 tunnin raja-arvon. Myös teoreettinen päiväkohtainen maksimivälkeaika alittaa 30 minuutin raja-arvon.

## 5 Välkevaikutuksen laskentamenetelmä

Välkevaikutuksen laskennassa hyödynnetään taivaanpallon käsitettä, joka on maapallon maantieteellistä koordinaatistoa vastaava kuvitteellinen kuori katsottaessa maapallolta taivaalle. Samalla tavoin kuin paikan sijainti maapallolla voidaan ilmoittaa pituus- ja leveyspiirien avulla, voidaan taivaankappaleiden paikat taivaanpallolla ilmoittaa kahden koordinaatin (rektaskensio ja deklinaatio) avulla. Aurinko kulkee vuoden aikana taivaanpallolla kääntöpiirien väliin asettuvalla nauhalla, ja Auringon esiintymistiheys kyseisellä nauhalla voidaan esittää tiheysfunktiona.

Tiettyyn pisteeseen kohdistuvaa vuotuista välkevaikutusta laskettaessa tarkastellaan sitä osaa taivaanpallosta, joka näkyy pisteeseen tuulivoimaloiden roottorikehien läpi. Näkyvyyden arvioinnissa otetaan huomioon paikallinen maaston korkeusaineisto. Mikäli kääntöpiirien väliin asettuva nauha ei näy roottorikehien läpi, tarkastelupisteeseen ei kohdistu välkevaikutusta. Muussa tapauksessa yksittäisen turbiinin aiheuttamien välketuntien määrä saadaan integroimalla tiheysfunktioita turbiinin roottorikehän läpinäkyvällä taivaanpallon osuudella. Turbiinien yhteisvaikutus saadaan summaamalla turbiinikohtaiset välketunnit ottaen kuitenkin huomioon mahdolliset päällekkäisyydet roottorikehien peittämässä alueissa. Laskenta suoritetaan erikseen turbiinien eri orientaatioille, joita skaalataan suuntakohtaisilla tuulusuusosuuksilla.

Huomioitaessa kuukausittaista (tai muuta lyhytaikaista) vaihtelua auringonpaisteen todennäköisyydessä, taivaanpallon nauha jaetaan vastaaviin osiin Auringon deklinaation mukaan. Tiheysfunktio määritellään näissä osissa erikseen, ja integroinnin tuloksia skaalataan kuukausikohtaisilla todennäköisyyksillä.

Turbiinin lapojen aiheuttama varjo heikkenee asteittain liikuttaessa etäämmälle turbiinista, eikä tietyn etäisyyden jälkeen varjo ole enää ihmissilmin havaittavissa. Tämä etäisyys riippuu turbiinin lavan leveydestä, ja esimerkiksi Ruotsin ja Saksan tuulivoimarakentamisen suunnitteluohjeistuksessa määritellään, että välkevarjostus huomioidaan, mikäli lapa peittää vähintään 20 % Auringosta. Käytännössä tämä asettaa lavan leveydestä riippuvan maksimietäisyyden yksittäisen turbiinin aiheuttamalle välkevaikutukselle, eikä sen ulkopuolella välkevaikutusta ole.

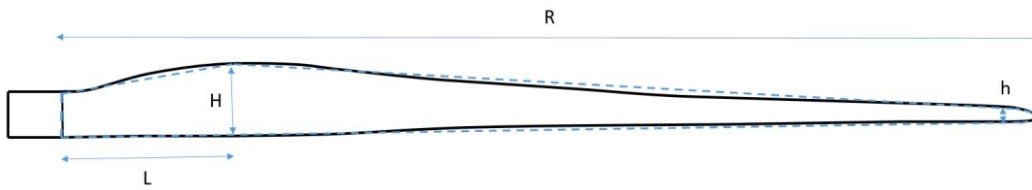
Kun lavan leveys on  $w$  metriä, niin 20 % Auringon peittoon perustuvan välkevarjostuksen maksimietäisyyden määrittämiseen voidaan johtaa laskentakaava

$$\text{maksimietäisyys} = (5 * d * w) / 1'097'780,$$

missä  $d$  on etäisyys Aurinkoon (150'000'000 km). Yleensä välkelaskennan maksimietäisyyden laskenta perustuu lavan keskimääräiseen leveyteen, joka määrää maksimietäisyyden. Käytännössä turbiinin lapa ei ole vakiolevyinen: Levein kohta sijaitsee lähellä turbiinin napaa ja lapa kapenee huomattavasti kärkeä kohti liikuttaessa. Tällä perusteella lavan tyven välkevaikutus ulottuu huomattavasti pidemmälle kuin lavan kärjen, mikäli arviointiperusteena käytetään Auringon peittoastetta.

Seuraavassa kaaviokuvassa (Kuva 4) on esitetty malli tyypillisestä profiilista, jossa lavan maksimileveys on  $H$  etäisyydellä  $L$  lavan tyvestä. Lavan kokonaispituus on  $R$  ja lavan leveys 90 % etäisyydellä tyvestä on  $h$ . Lavan oletetaan kapenevan lineaarisesti arvosta  $H$  arvoon  $h$  liikuttaessa maksimikohdasta kärkeen. Tavanomaisesti välkelaskennassa turbiinin keskimääräinen leveys on määritetty parametrien  $H$  ja  $h$  keskiarvona.





Kuva 4: Turbiinin lavan malliprofiili.

Tämän raportin väkelaskennassa käytetään turbiinivalmistajan ilmoittamiin tietoihin perustuvaa lavan profiilitietoa. Laskennassa huomioitava roottorin säde vaihtelee välillä  $[0, R]$  riippuen tarkastelupisteen etäisyydestä turbiineihin sekä lavan leveydestä ja sitä vastaavasta Auringon peittoasteesta. Tällä tavoin väkelaskennassa huomioidaan turbiinin muuttuva lapaprofiili, ja saadaan realistisempia tuloksia kuin olettamalla tietty keskimääräinen lavan leveys ja sitä vastaava kiinteä maksimietäisyys.

## 6 Viitteet

- [1] B. Tammelin et al.: Production of the Finnish Wind atlas. Wind Energy, 2011.
- [2] Boverket: *Vindkraftshandboken*, Planering och prövning av vindkraftverk på land och i kustnära vattenområden, 2009.
- [3] P. Jokinen et al.: Tilastoja Suomen ilmastosta ja merestä 1990-2020, Ilmatieteen laitos, Raportteja 2021:8.
- [4] Tuulivoimarakentamisen suunnittelu. Päiväys 2016. Ympäristöhallinnon ohjeita 5|2016.